

25. Optik

Jan. 21 2019

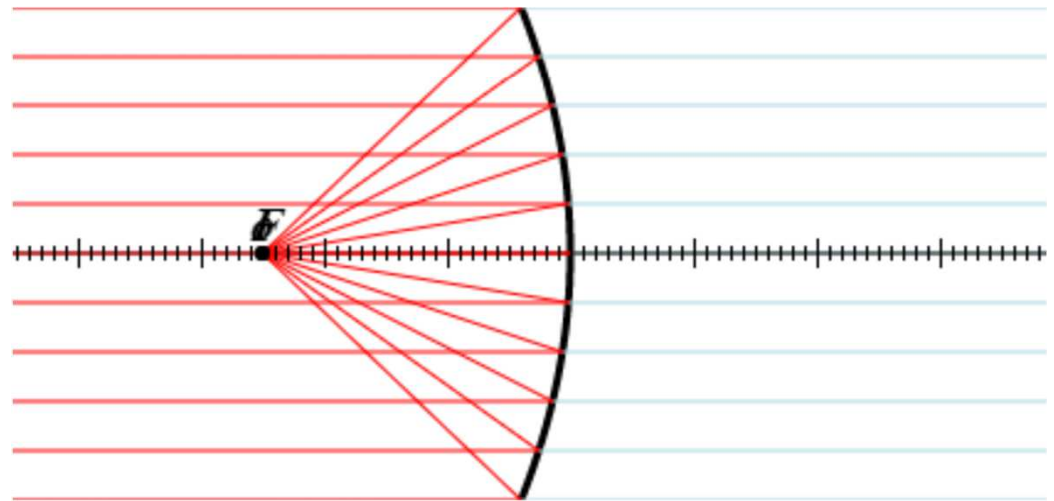
Parabolspiegel



de.wikipedia.org/wiki/Parabolspiegel

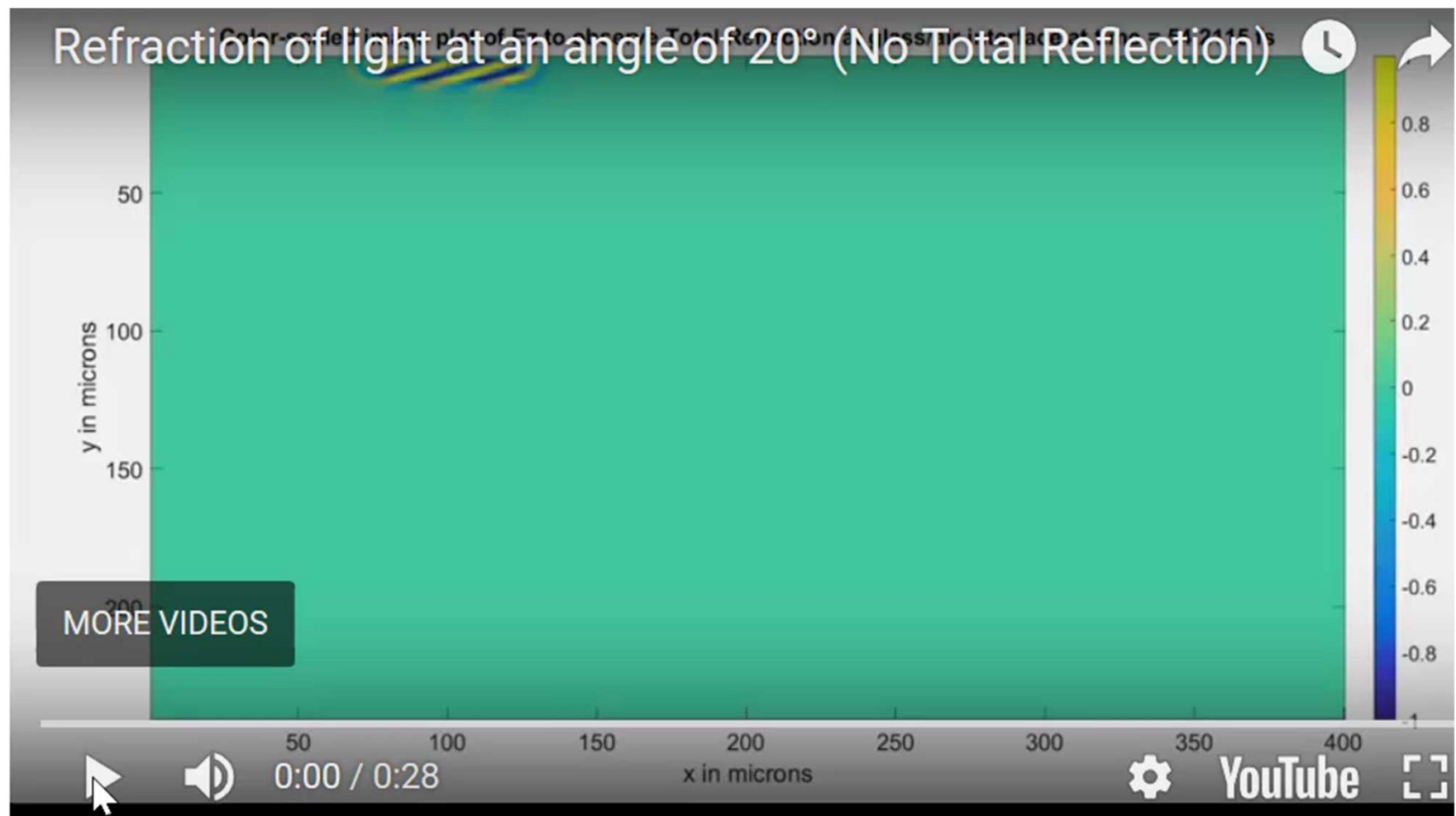
 $F = -2.5 \text{ [cm]}$
 $x_o = -2.5 \text{ [cm]}$
 $y_o = 0 \text{ [cm]}$

plot

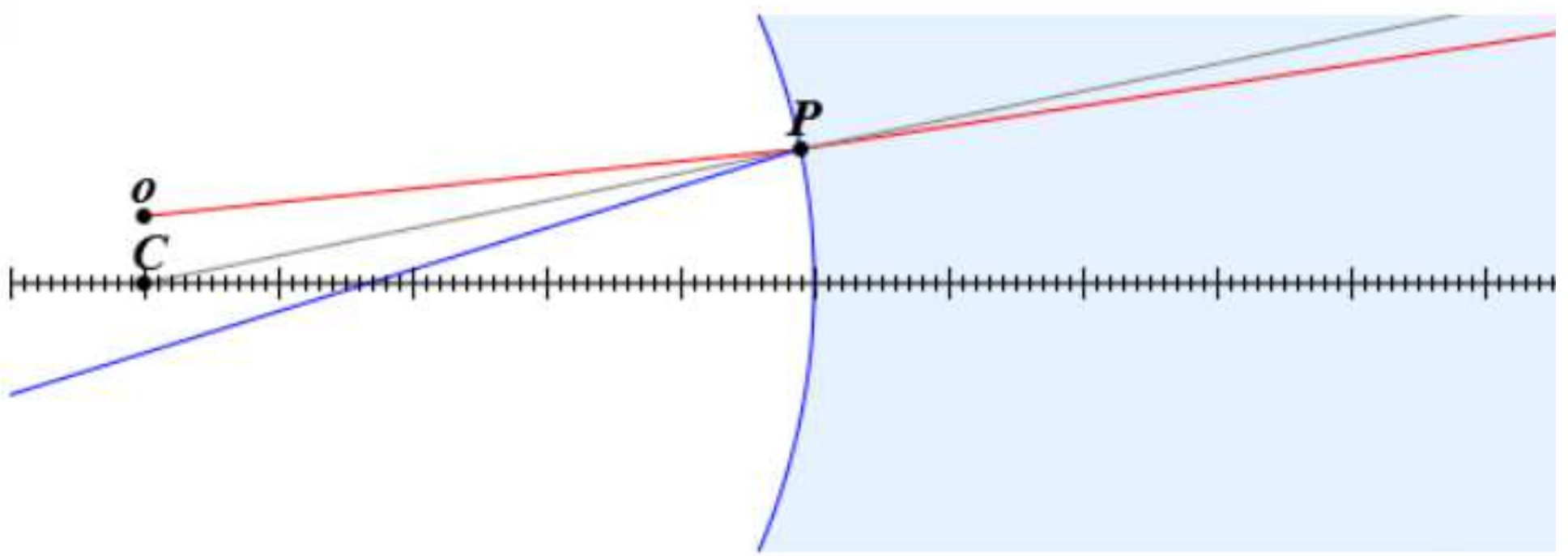


APP:
**Reflection from a
parabolic mirror**

Snelliussches Brechungsgesetz

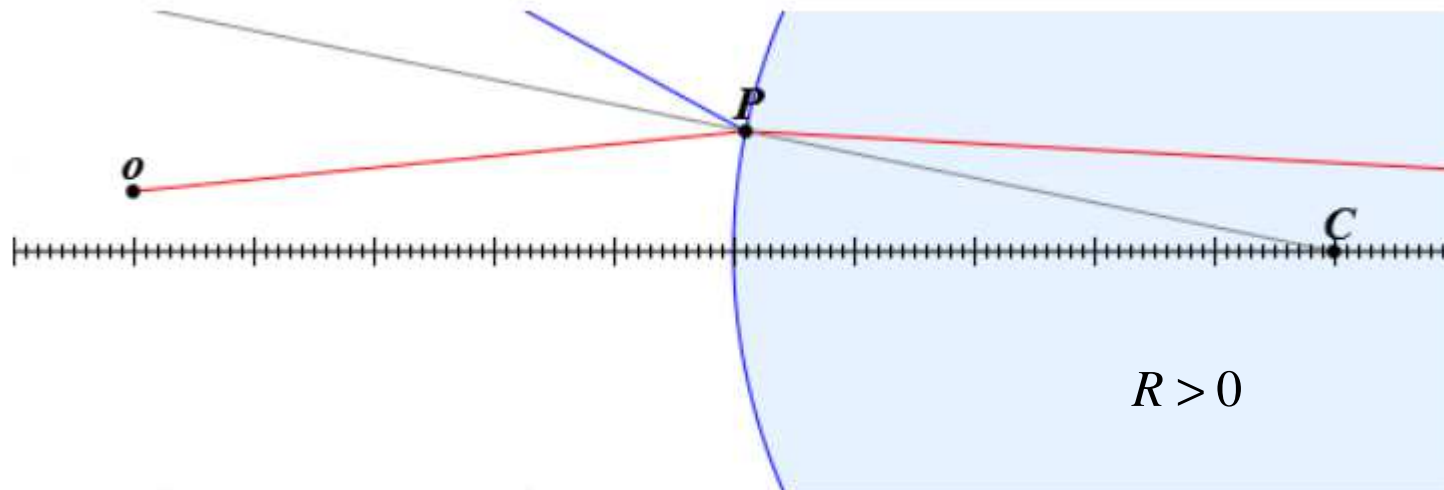
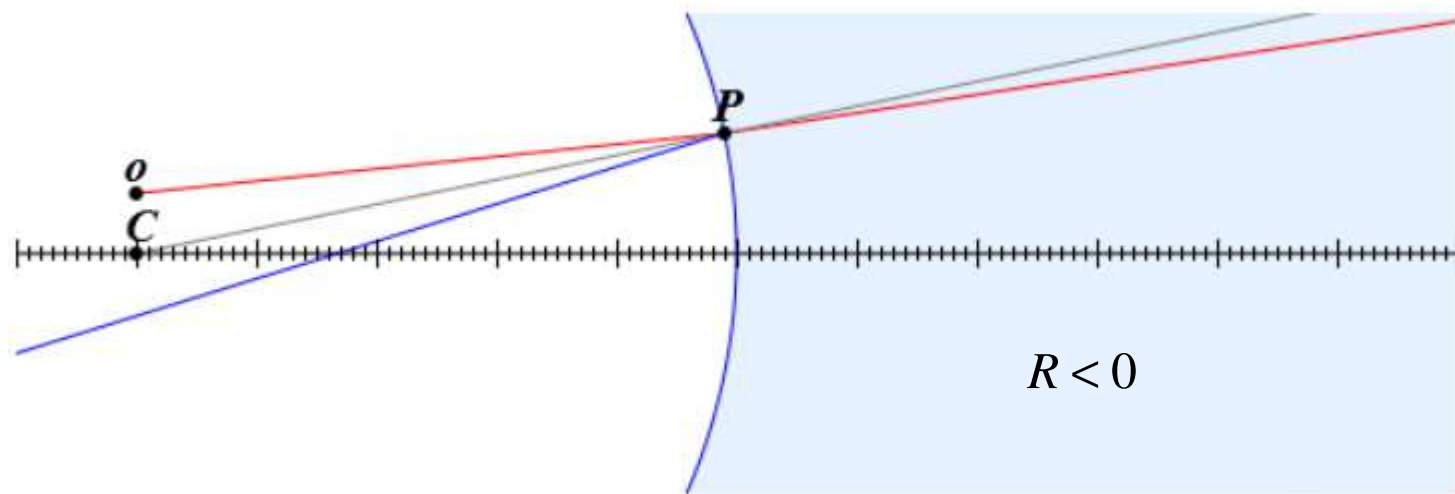


Brechung an einer gekrümmten Grenzfläche



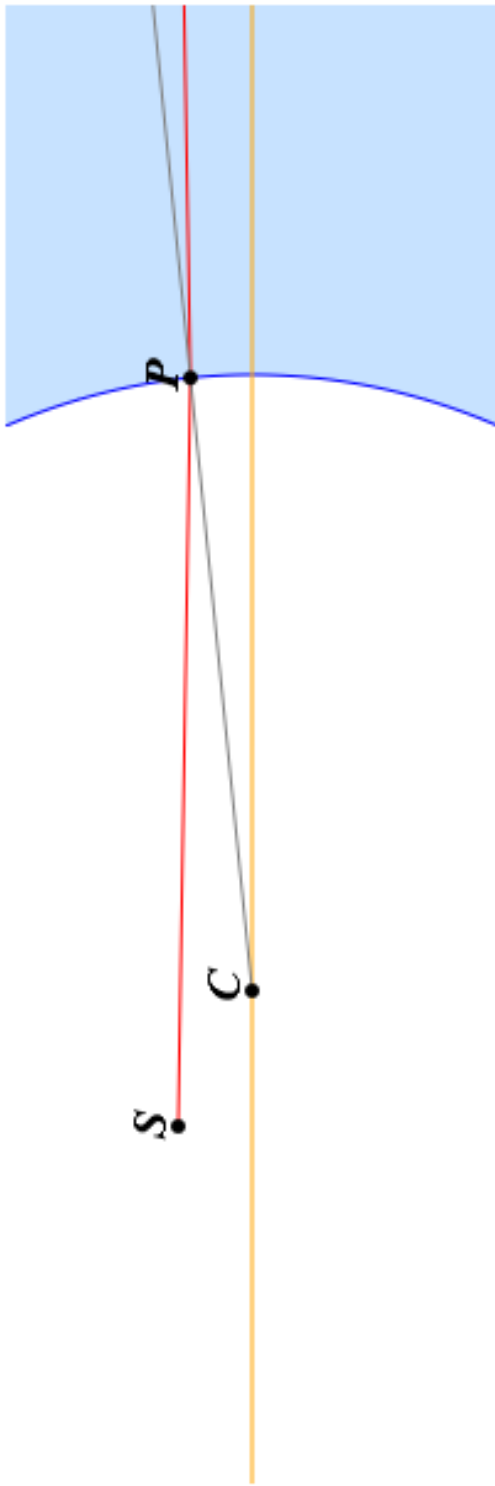
$$R < 0$$

Brechung an einer gekrümmten Grenzfläche



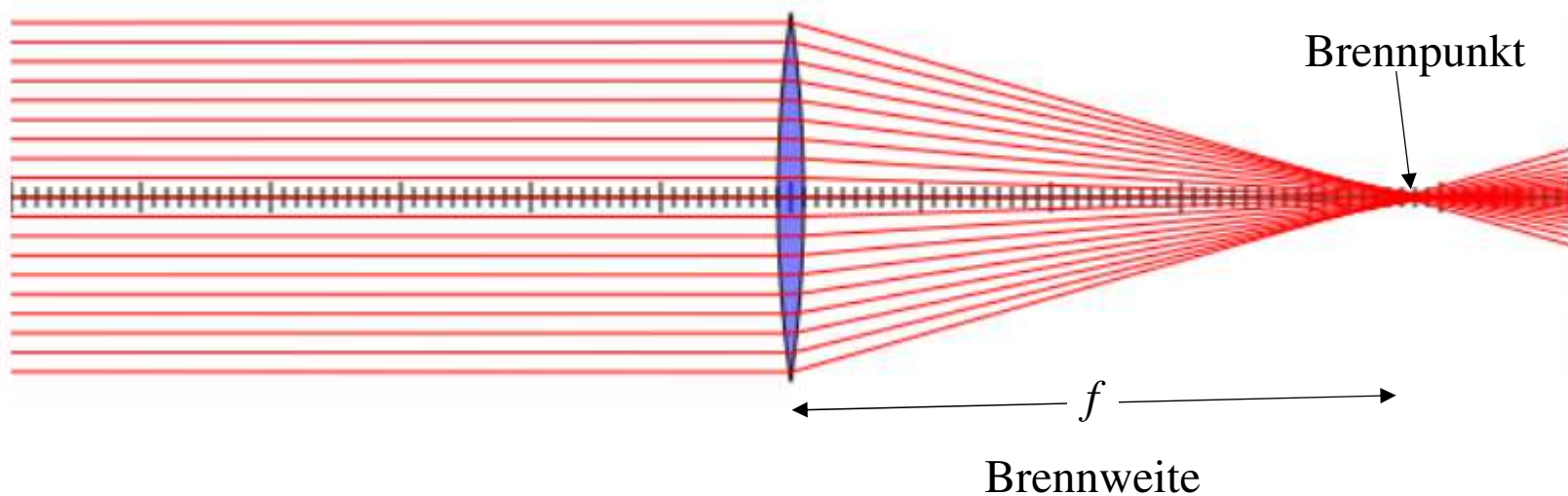
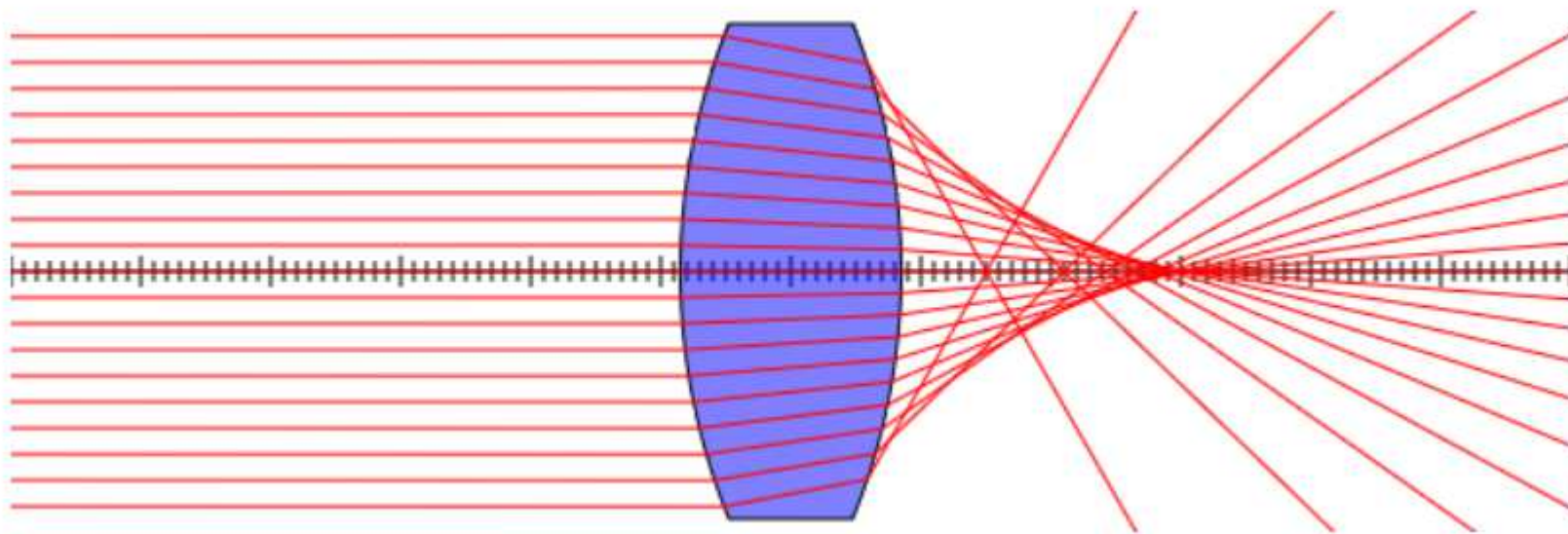
Brechung an einer konkaven Grenzfläche

Eine konkavе Grenzfläche sei durch einen Kreis mit dem Radius $R = 5$ cm und dem Mittelpunkt C an $(x_c = 0, y_c = 0)$ gegeben. Ein an der Position S ($x_0 = -1.1, y_0 = 0.60$) cm emittierter Lichtstrahl trifft auf diese Fläche am Punkt P in der Höhe $y_p = 0.50$ cm. Der Brechungsindex ist $n_1 = 1$ links und $n_2 = 1.4$ rechts der Grenzfläche. Wie groß ist der Winkel, welcher von der Normalen auf die Grenzfläche am Punkt P (die C und P verbindende graue Linie) und dem gebrochenen Strahl eingeschlossen wird?

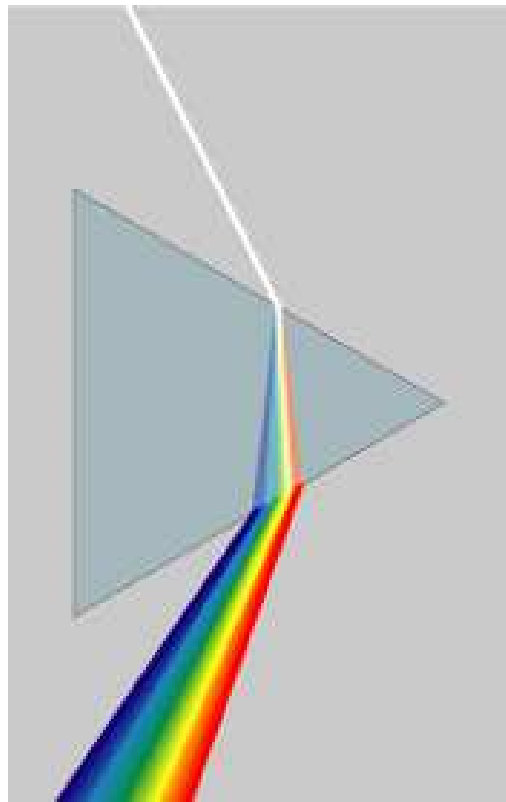


Lösung

Sphärische Aberration



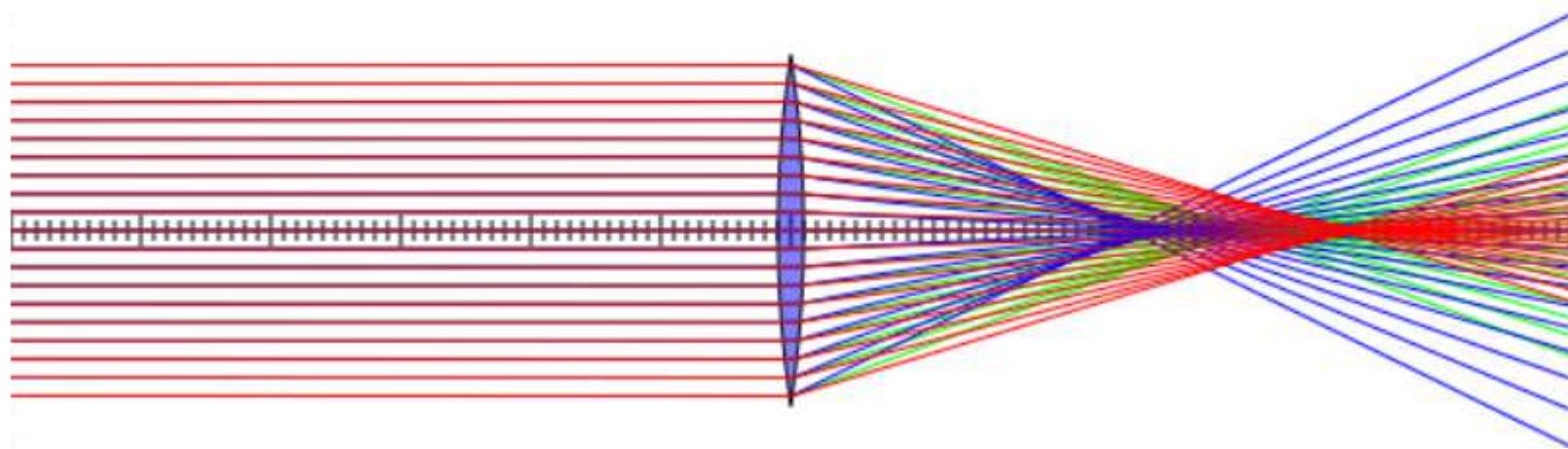
Dispersion



Brechungsindex
 $n(\lambda)$

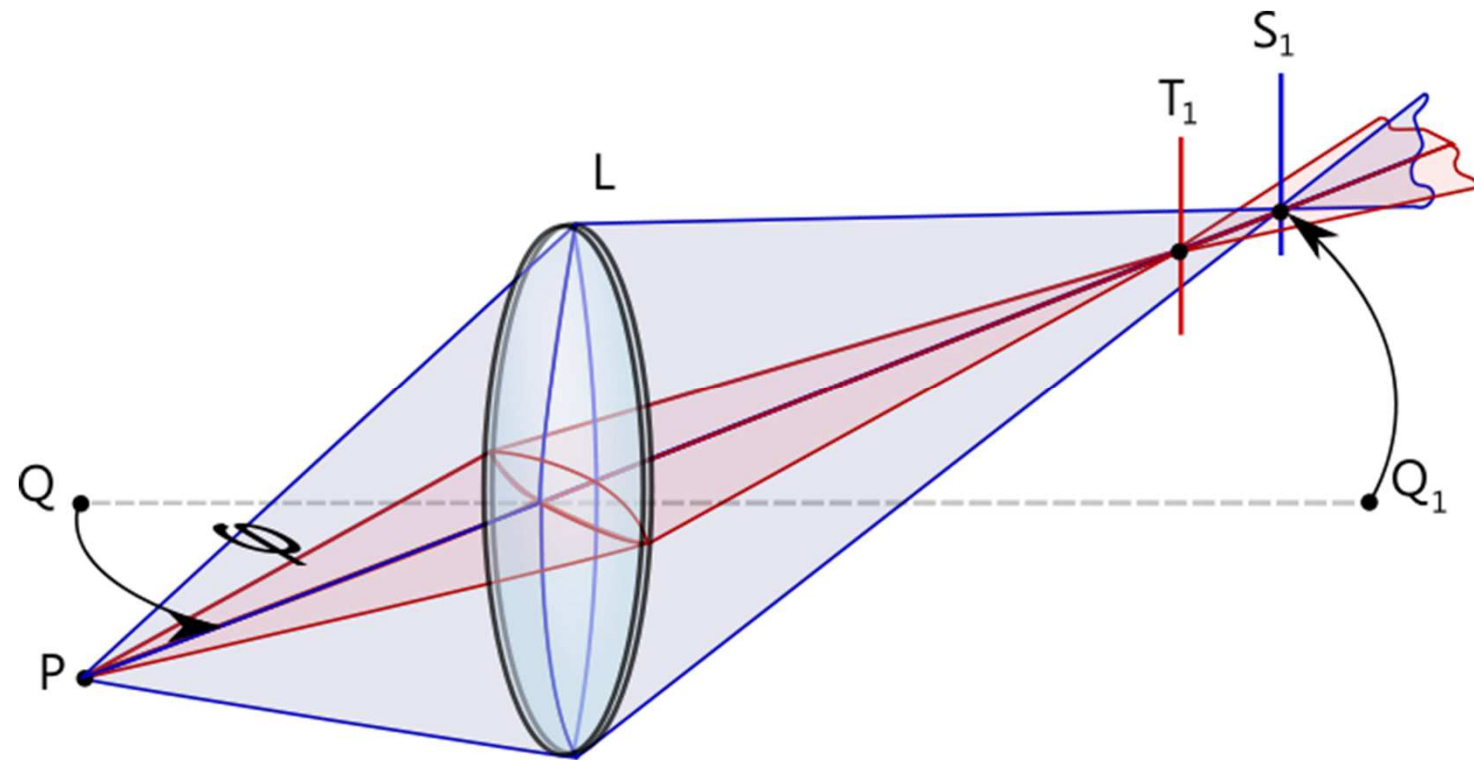
Chromatische Aberration

	Rot	Grün	Blau
$n_{\text{Umg}} =$	1	1	1
$n_{\text{Linse}} =$	2	2.2	2.5
show:	<input checked="" type="checkbox"/> Rot	<input checked="" type="checkbox"/> Grün	<input checked="" type="checkbox"/> Blau
	<input type="button" value="plot"/>		



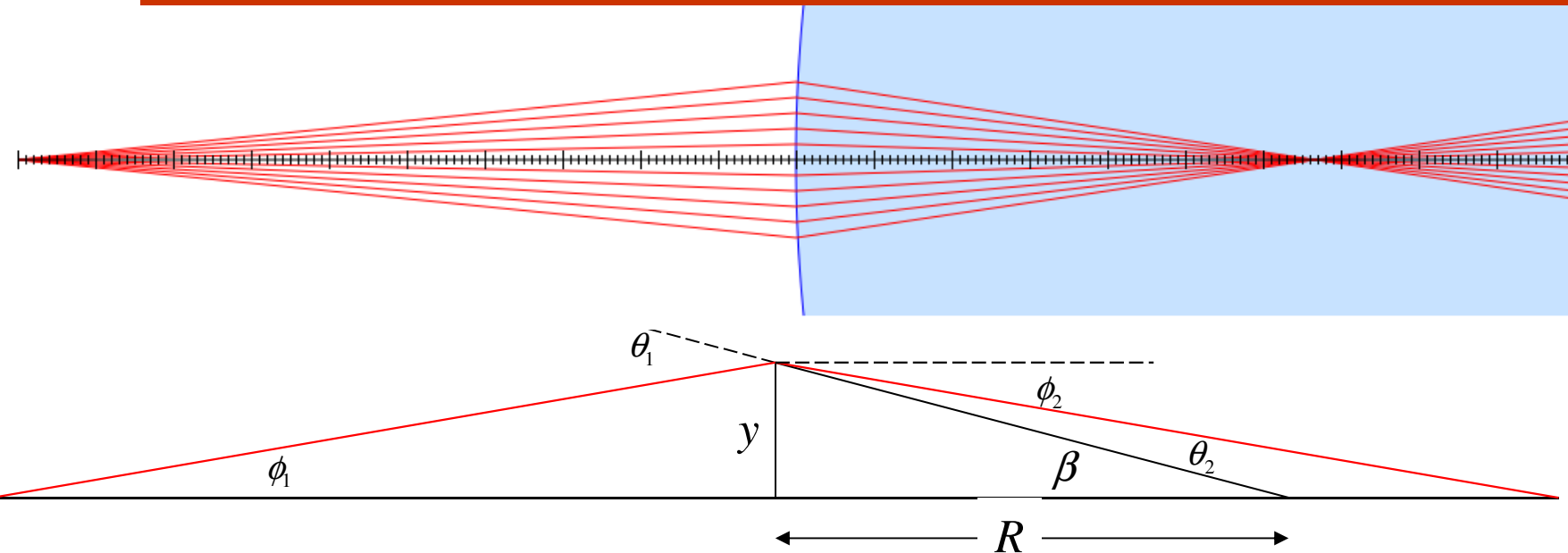
Astigmatismus

Die Brechung hängt von der Einfallsebene ab.



<https://en.wikipedia.org/wiki/Astigmatism#/media/File:Astigmatism.svg>

kleine Winkel zur optischen Achse



$$n_1 \sin \theta_1 = n_2 \sin \theta_2$$

$$\theta_1 = \phi_1 + \beta$$

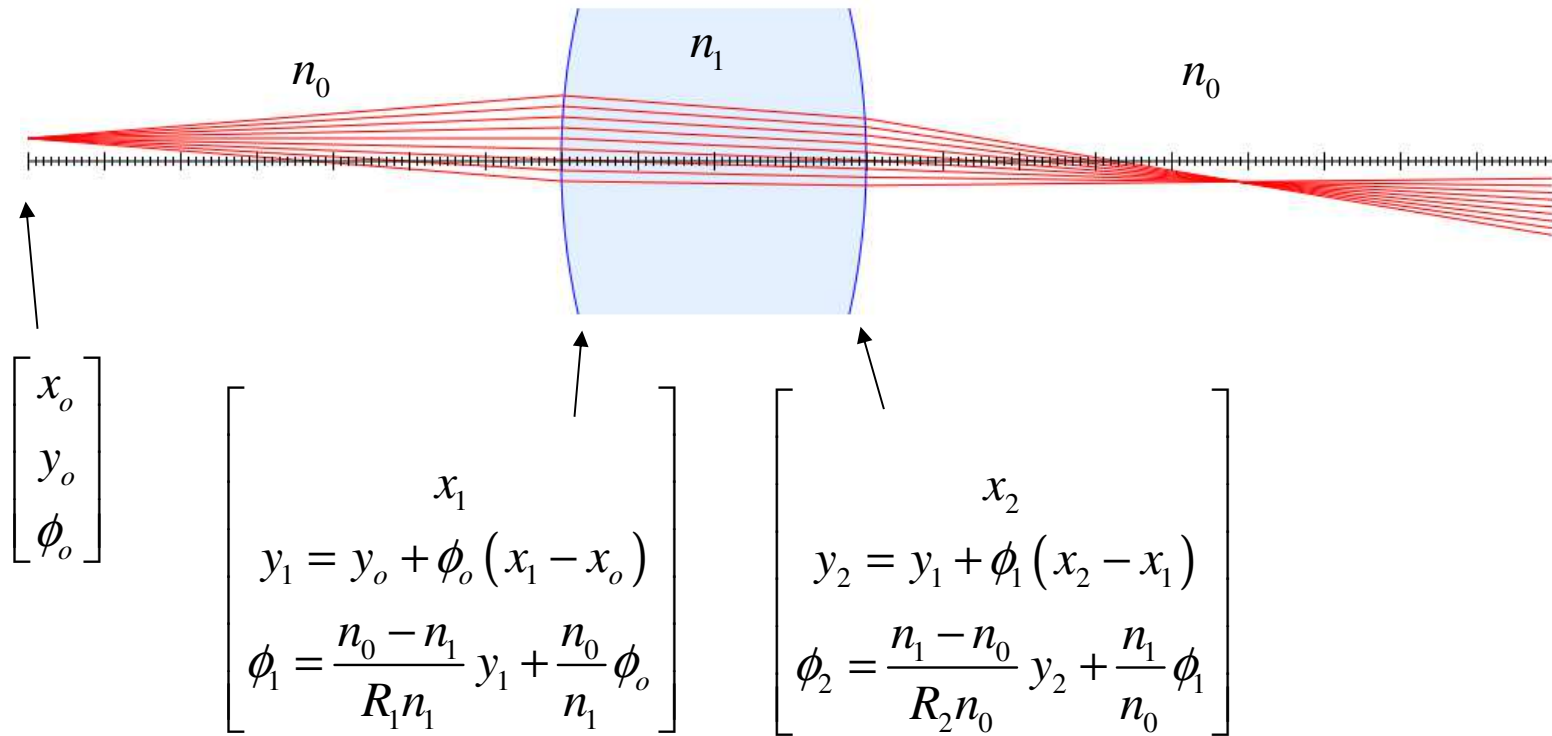
$$\downarrow$$
$$n_1 \theta_1 \approx n_2 \theta_2$$

$$-\phi_2 + \theta_2 = \beta$$

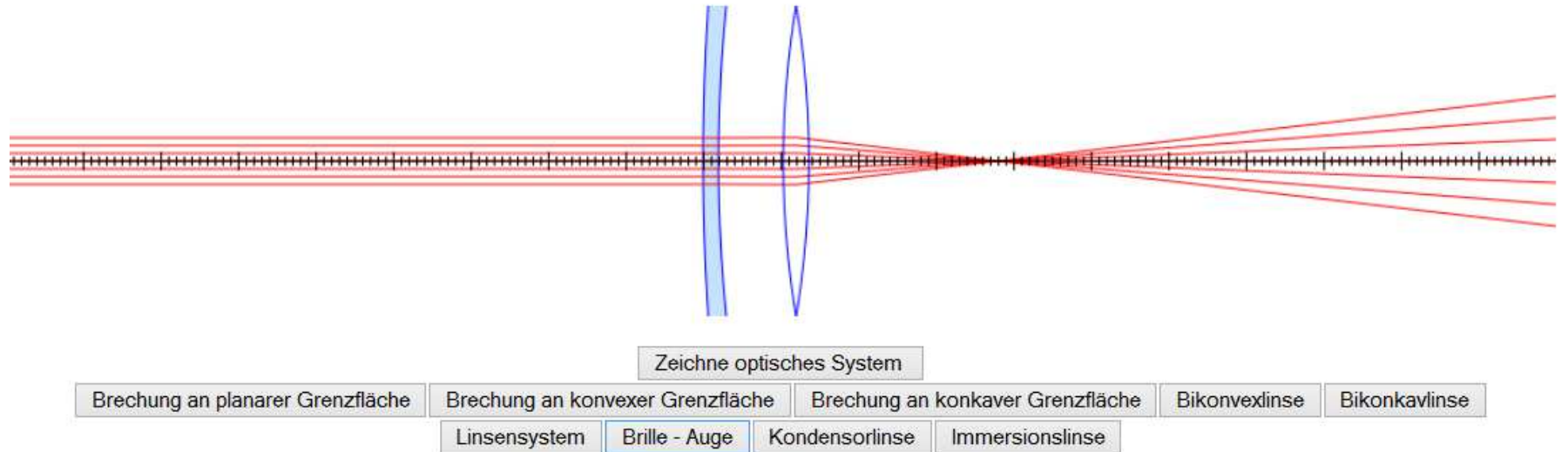
$$\beta \approx \frac{y}{R}$$

$$\phi_2 = \frac{n_1 - n_2}{n_2 R} y + \frac{n_1}{n_2} \phi_1$$

Linse (kleine Winkel)



Ray tracing mittels Transfermatrixmethode



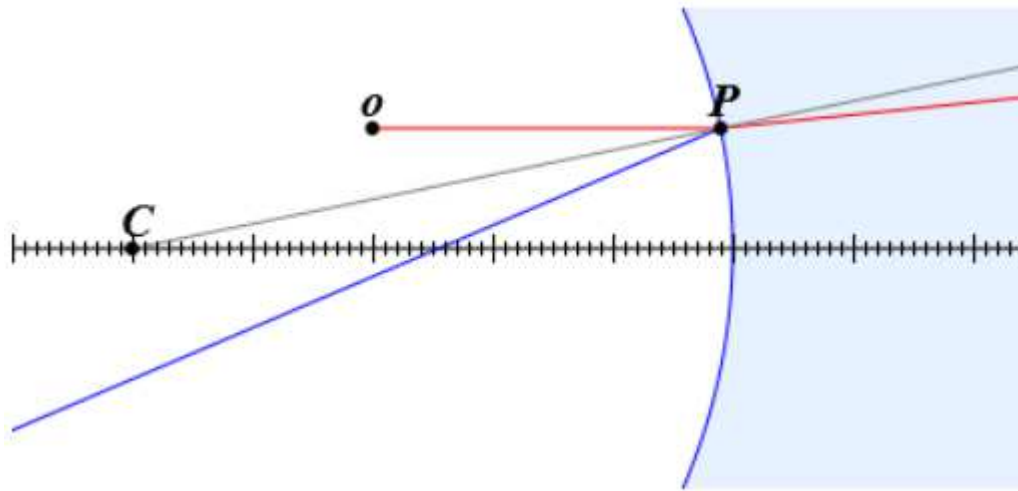
zwischen Grenzflächen

$$y_{i+1} = y_i + \phi_i(x_{i+1} - x_i)$$

bei Grenzfläche

$$\phi_{i+1} = \frac{n_1 - n_2}{n_2 R} y_i + \frac{n_1}{n_2} \phi_i$$

Brechung



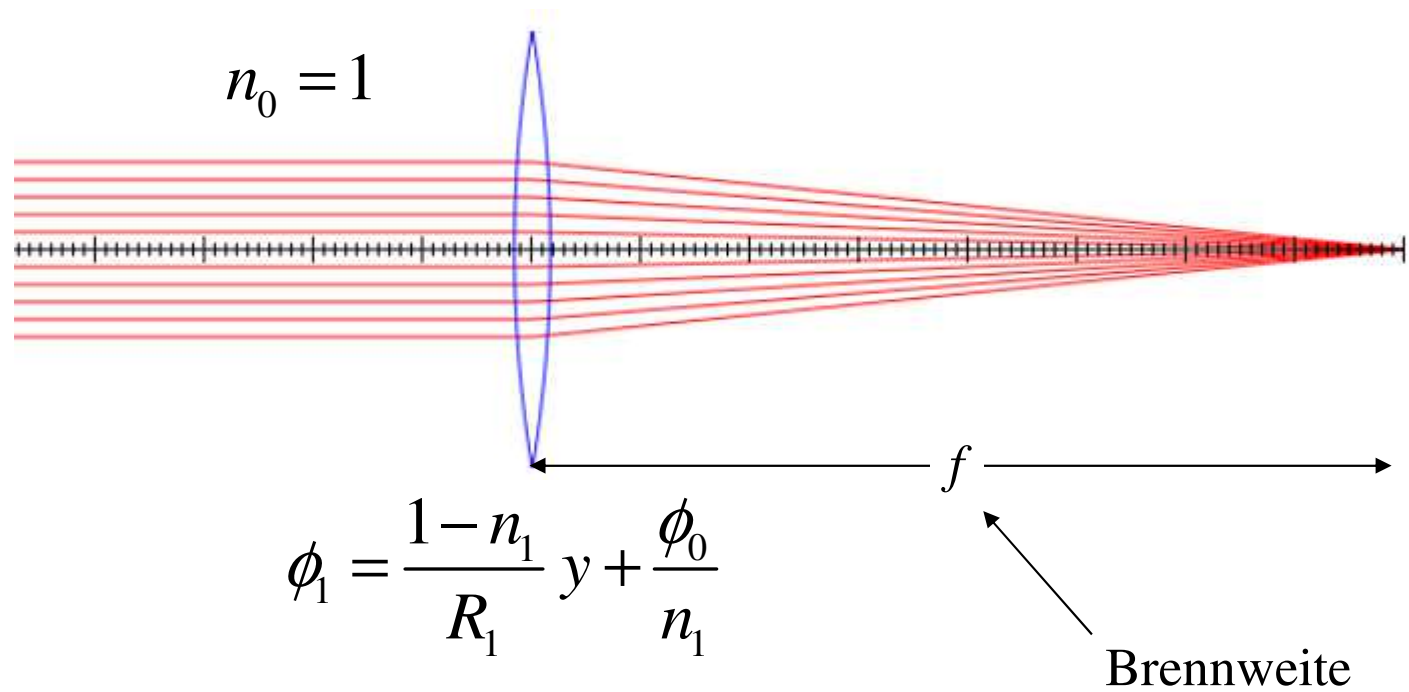
Methode 1: mit Vektoren

$$n_1 \sin \theta_1 = n_2 \sin \theta_2$$

Methode 2: kleinen Winkeln zur optischen Achse

$$\phi_{i+1} = \frac{n_1 - n_2}{n_2 R} y_i + \frac{n_1}{n_2} \phi_i$$

dünne Linsen (kleine Winkel)

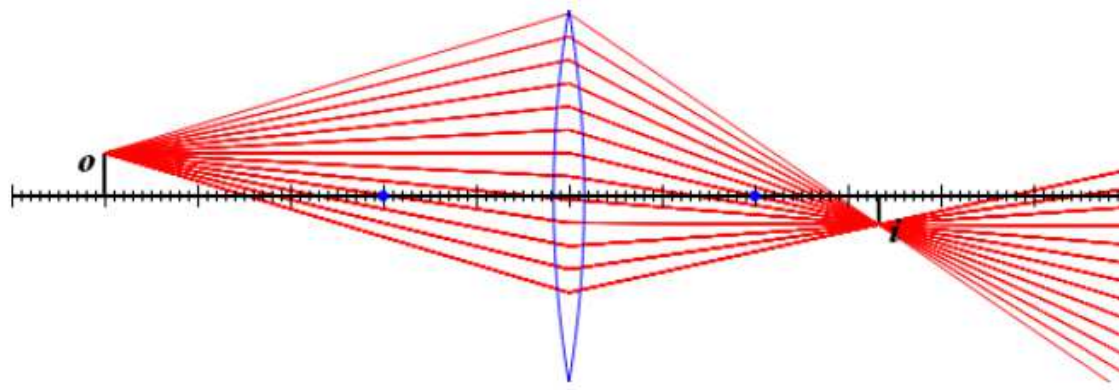


$$\phi_{i+1} = -\frac{y_i}{f} + \phi_i$$

$$\frac{1}{f} = (n_1 - 1) \left(\frac{1}{R_1} - \frac{1}{R_2} \right)$$

Abbildungsgleichung für dünne Linsen | | | | |---------|---|--------------------| | $f =$ | <input type="text" value="2"/> | [cm] | | $x_o =$ | <input type="text" value="-5"/> | [cm] | | $y_o =$ | <input type="text" value="0.5"/> | [cm] | | $x_i =$ | <input type="text" value="3.333333"/> | [cm] | | $y_i =$ | <input type="text" value="-0.3333333"/> | [cm] | | $D =$ | <input type="text" value="50.0000"/> | [m ⁻¹] | | $m =$ | <input type="text" value="-0.666667"/> | | plot A ray diagram illustrating the imaging properties of a thin lens. Parallel red light rays from the left enter a lens from the right. The lens refracts the rays, causing them to converge at a point labeled I . A blue circle represents the lens. The distance from the lens to the image is labeled x_i . The object is labeled o with a double-headed arrow indicating its position to the left of the lens. The image is real and inverted. $$-\frac{1}{x_o} + \frac{1}{x_i} = \frac{1}{f}$$

Abbildungsgleichung für dünne Linsen



$$x_i = \frac{fx_o}{f + x_o}$$



$$\frac{1}{x_i} - \frac{1}{x_o} = \frac{1}{f}$$

$$y_i = y_o \left(\frac{f}{f + x_o} \right)$$

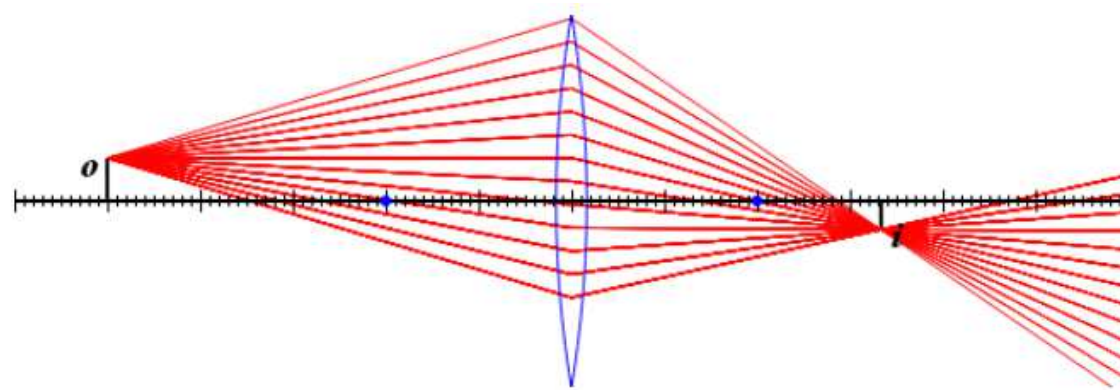


$$m = \frac{y_i}{y_o} = \left(\frac{f}{f + x_o} \right)$$

dünne Linsen

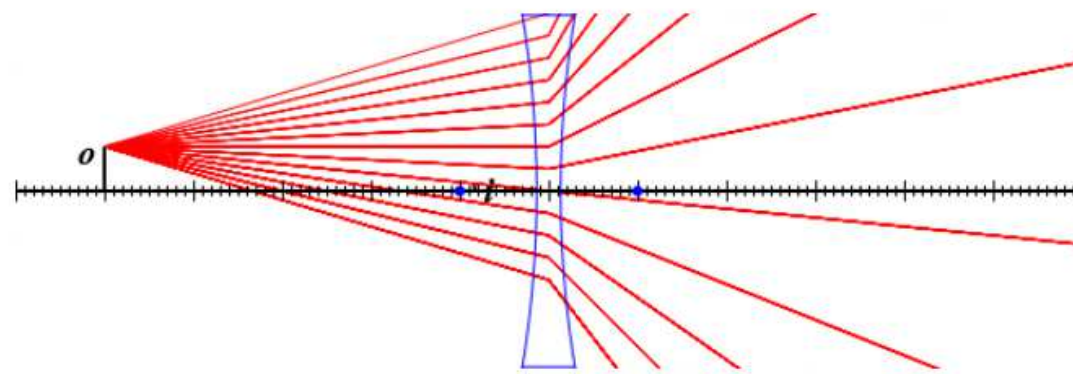
Sammellinse

$$f > 0$$



Zerstreuungslinse

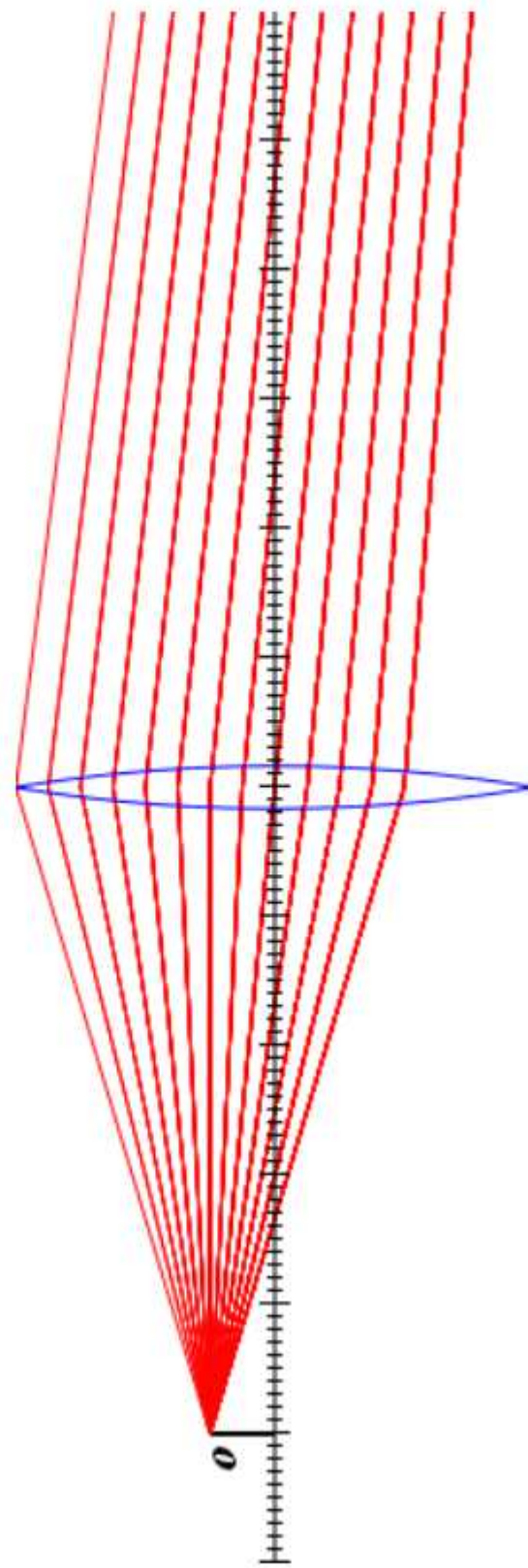
$$f < 0$$



Brennweite

$x_o = -5$ [cm] $x_o \leftarrow$ $x_o \rightarrow$
 $y_o = 0.5$ [cm] $y_o \uparrow$ $y_o \downarrow$
 $x_i = 78.3333$ [cm]

plot



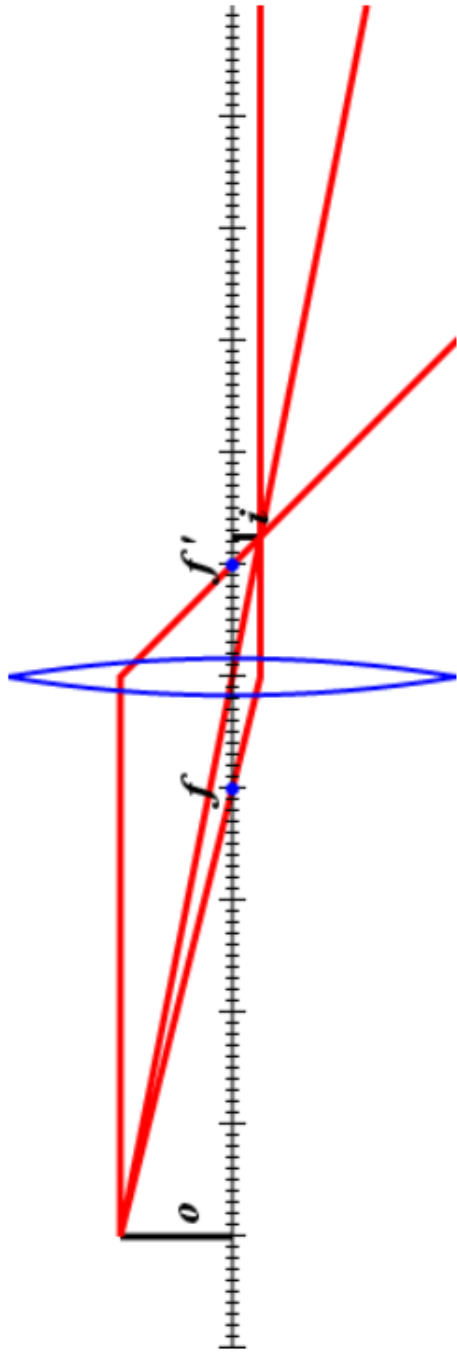
Wie groß ist die Brennweite dieser Linse (in cm, gerundet auf die erste Nachkommastelle)?

$f =$ [cm] Lösung

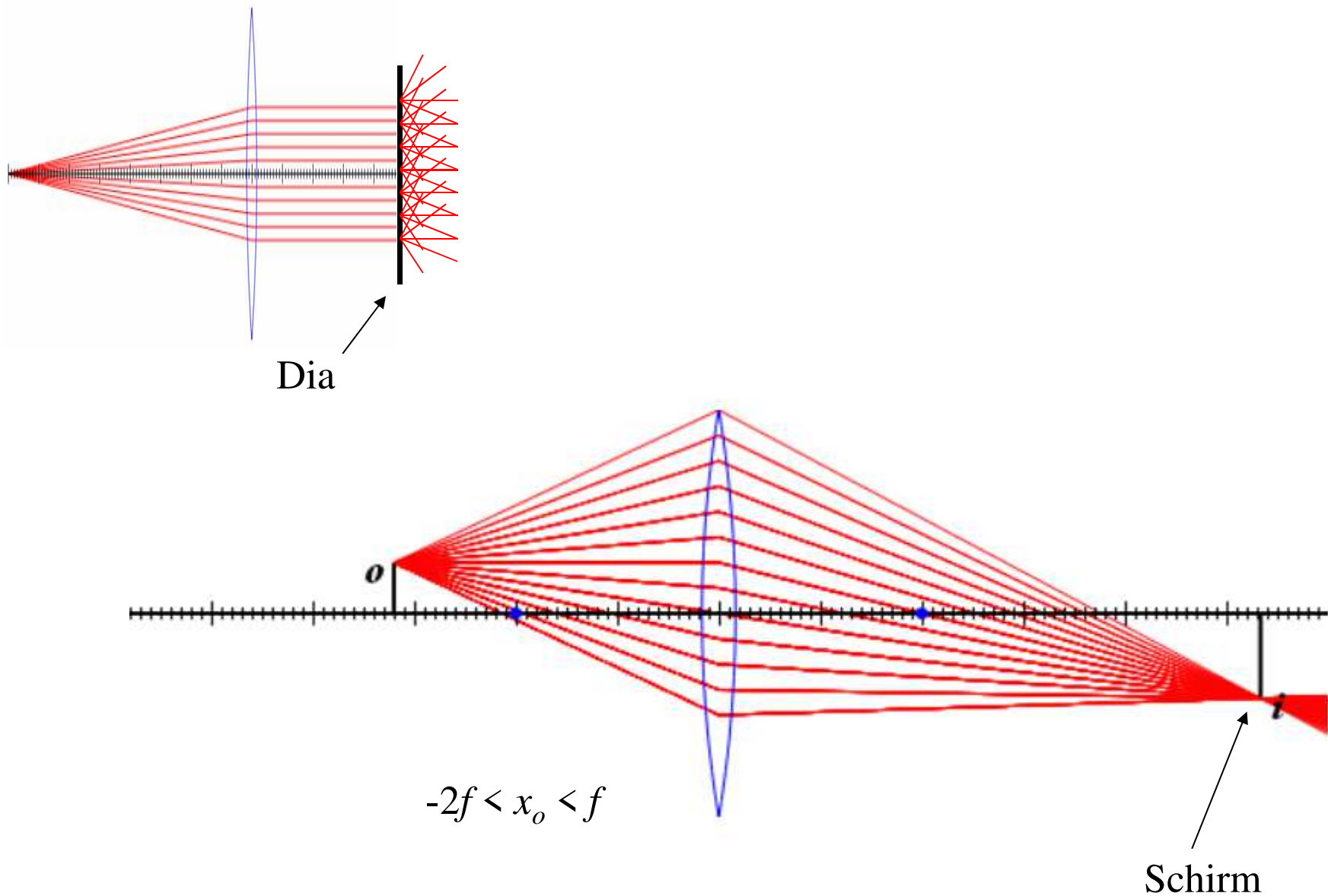
Reelle und virtuelle Bilder

$f = 1$	[cm]	$f \uparrow$	$f \downarrow$
$x_o = -5$	[cm]	$x_o \leftarrow$	$x_o \rightarrow$
$y_o = 1$	[cm]	$y_o \uparrow$	$y_o \downarrow$
$x_i = 1.25000$	[cm]	$D = 100.000$	$[m^{-1}]$
$y_i = -0.250000$	[cm]	$m = -0.250000$	

The image is real and inverted.

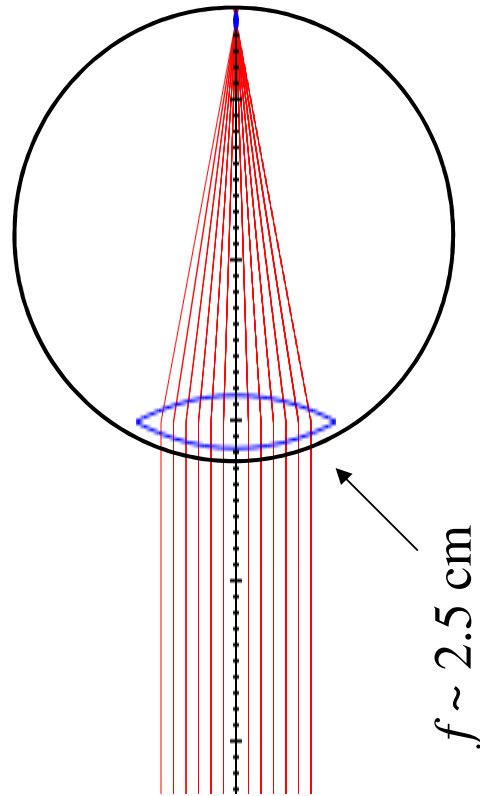
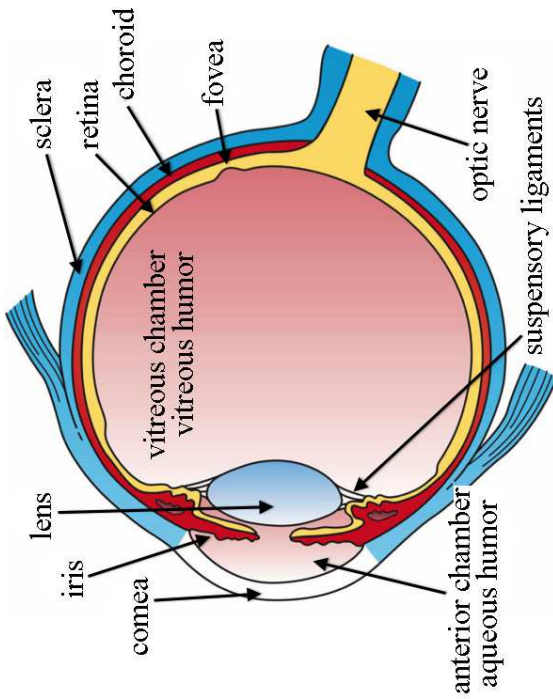


Diaprojektor

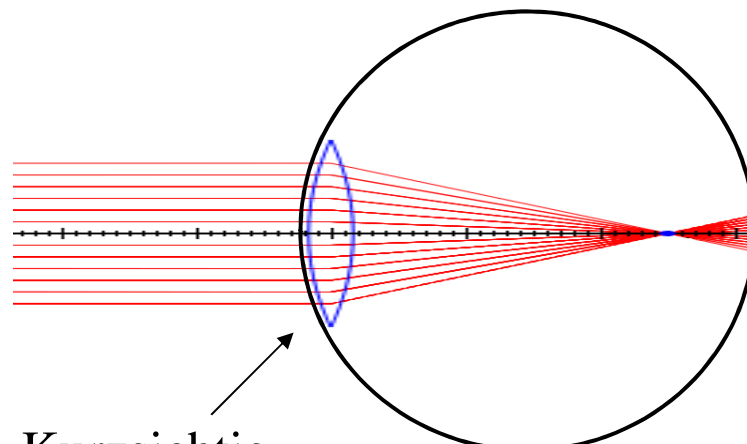


Auge

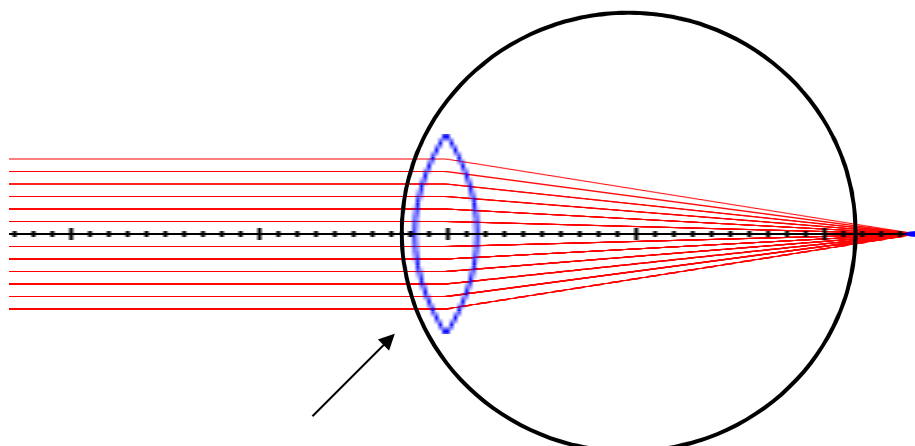
http://upload.wikimedia.org/wikipedia/commons/d/d0/Three_Main_Layers_of_the_Eye.png



Auge



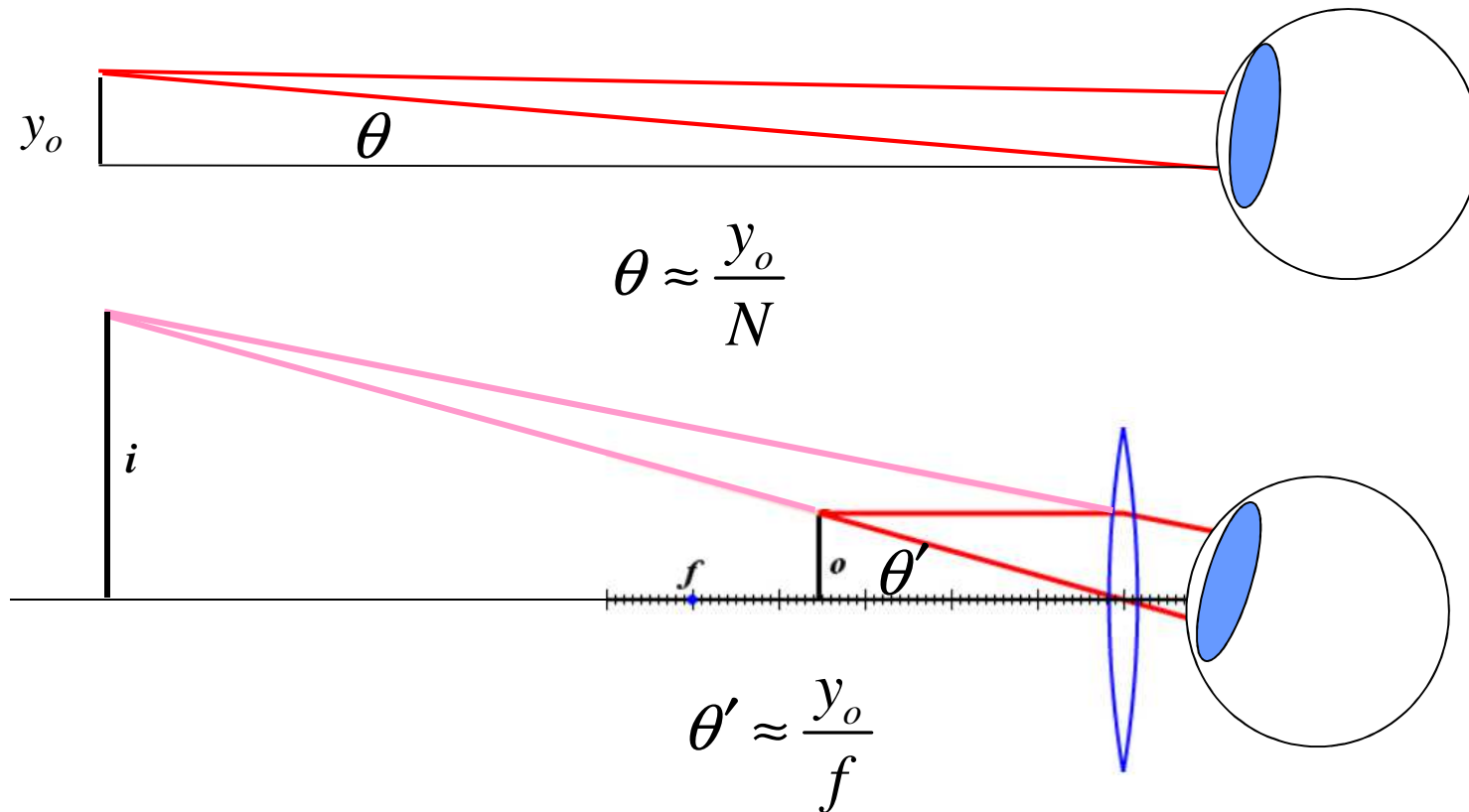
Kurzsichtig



Weitsichtig

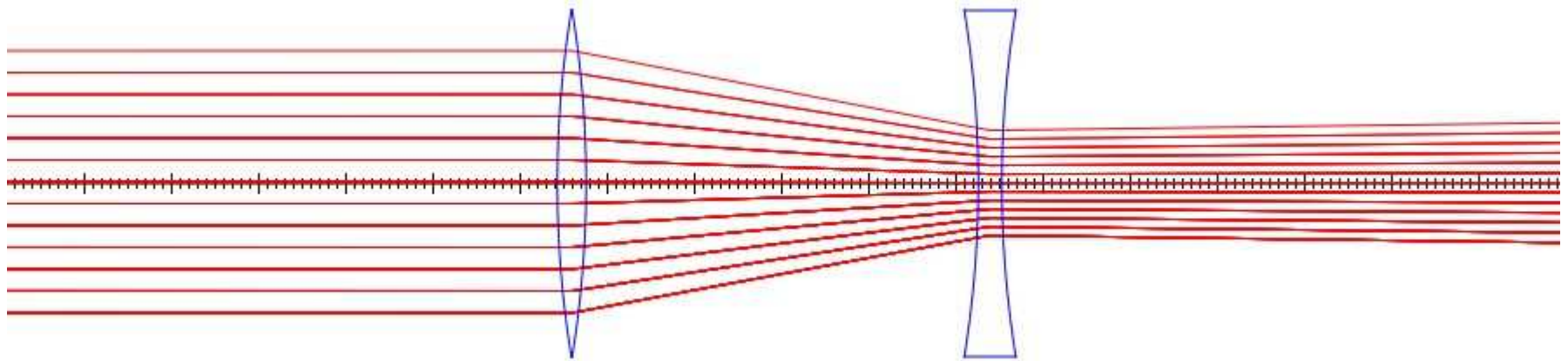
Lupe

Nahpunkt $N \sim 25$ cm



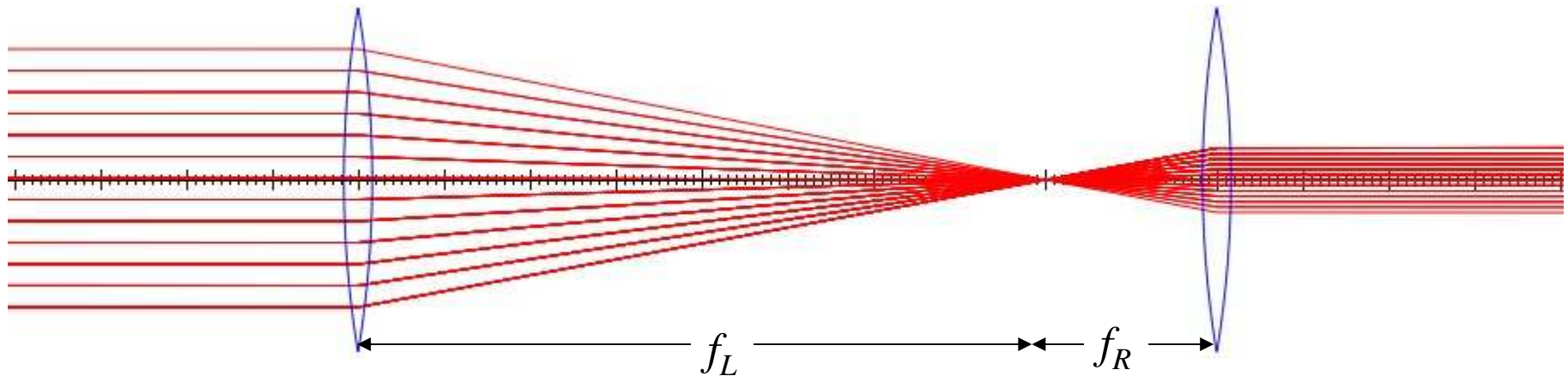
Vergrößerung $m \sim N/f$

Galilei'sches Teleskop



$$m = \frac{\theta_i}{\theta_o} = \frac{y_i x_o}{y_o x_i}$$

Keplersches Teleskop



$$m = \frac{\theta_i}{\theta_o} = \frac{y_i x_o}{y_o x_i}$$

Mikroskop

